



تعیین سن مجموعه‌ی نفوذی لخشک به روش اورانیوم-سرب روی کانی‌های زیرکن و تیتانیت، شرق ایران

مهدی رضایی کهخایی^{*}، رضا رهبر، حبیب‌ا. قاسمی

دانشکده علوم زمین، دانشگاه صنعتی شهرورد، شهرورد، ایران

(دریافت مقاله: ۹۵/۱/۲۱، نسخه نهایی: ۹۵/۵/۱۷)

چکیده: مجموعه‌ی نفوذی لخشک متشكل از توده گرانودیوریتی و دایک‌های مونزودیوریتی- داسیتی، بخشی از نوار گرانیت‌وئیدی جنوب غربی زاهدان- سراوان است که مساحتی حدود 90 Km^2 را دربر گرفته است. این دایک‌ها به صورت دسته‌ی دایک موازی و با روند غالب شمال شرقی - جنوب غربی حدود ۲۰ الی ۳۰ درصد حجم توده را به خود اختصاص داده‌اند. توده گرانودیوریتی دارای بافت دانه‌ای است و از پلازیوکلاز، پاتاسیم‌فلدسبار، کوارتز، هورنبلند سیز و بیوتیت. کانی‌های فرعی موجود در آن عبارتند از زیرکن، تیتانیت، آپاتیت، آلانیت و اکسیدهای آهن. دایک‌های مونزودیوریتی دارای ریزدانه بوده و بیشتر از کانی‌های پلازیوکلاز و هورنبلند قهقهه ای تشکیل شده‌اند، در حالی که دایک‌های داسیتی دارای پلازیوکلاز، سانیدین، کوارتز، بیوتیت و مقدار کمی هورنبلند هستند و بافت پورفیری دارند. برای تعیین سن به روش اورانیوم-سرب، بهترین زیرکن‌ها و تیتانیت‌ها از سنگ‌های مورد نظر جدا شدند. نتایج تعیین نسبت‌های اورانیوم و سرب بهوسیله‌ی طیف‌سنج جرمی نشان داد که سنگ‌های توده گرانودیوریتی لخشک در 0.1 ± 0.9 میلیون سال پیش تشکیل شده‌اند و سپس دایک‌های مونزودیوریتی در 0.11 ± 0.95 میلیون سال و دایک‌های داسیتی در 0.69 ± 1.1 میلیون سال پیش در آن تزریق شده‌اند.

واژه‌های کلیدی: سال سنجی اورانیوم-سرب؛ لخشک؛ زیرکن؛ تیتانیت؛ گرانودیوریت؛ زون سیستان؛ ایران.

گرانیتی مهم و تعیین کننده است. تیتانیت (CaTiSiO_5) یکی دیگر از کانی‌های فرعی است که مقادیر زیادی U و Th دارد. به دلیل دمای بالای بسته شدن سیستم، این کانی (700°C) 650°C برای ایزوتوب‌های اورانیوم و سرب، و علاوه بر آن رشد و بکارگیری روش‌های سال‌سنجی متنوع (مانند SHRIMP و LA-ICPMS)، می‌توان از تیتانیت در بررسی تهنشست‌های کانسارهای گرمابی، تعیین سن سنگ‌های آذرین [۳] و بازسازی تاریخچه‌ی دگرگونی یک منطقه استفاده کرد [۴-۱۰]. تیتانیت ممکن است عناصر U و Pb خود را در اثر نفوذ گرمابها از دست بدنه‌ند یا بر مقدار آنها اضافه شود؛ و در نتیجه تعیین سن به درستی صورت نگیرد.

منطقه‌ی جوش‌خورده سیستان در شرق ایران قرار دارد و از بیرون‌جند تا سراوان ادامه دارد و ناشی از فرورانش لیتوسفر

مقدمه

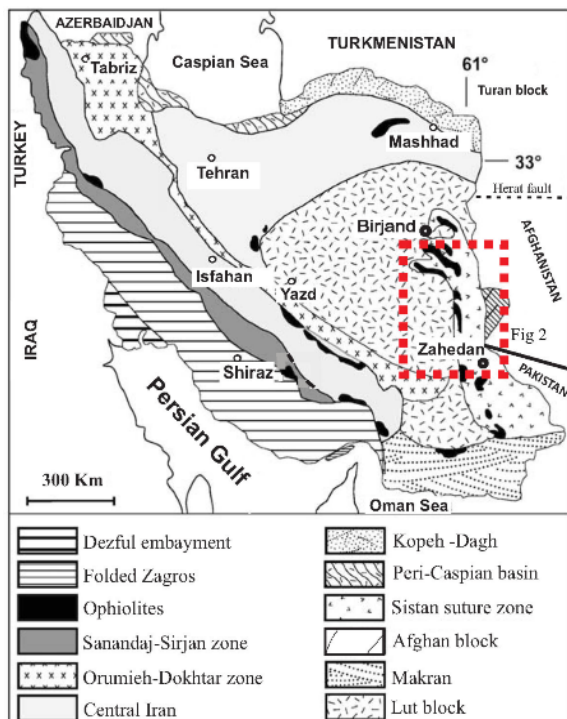
ثبات و پایداری کانی‌های کمیاب برای تعیین زمان تبلور و سن سنگ‌های آذرین و دگرگون اهمیت بسیاری دارند. برخی از این کانی‌ها مثل زیرکن و تیتانیت بیشتر به عنوان ساعت زمین‌شناسی (ژئوکرنومتر) مورد استفاده قرار می‌گیرند. زیرکن (ZrSiO_4) یک کانی غنی از اورانیوم (U) است که در طیف گستره‌های از انواع سنگ‌های گرانیتی تا گابروی وجود دارد [۱]. سال‌هاست که زیرکن به عنوان یک کلید سال‌سنجی بر اساس واپاشی پرتوزای اورانیوم به سرب بکار گرفته می‌شود. نرخ انتشار برای بسیاری از عناصر در زیرکن‌ها به شدت آهسته است [۲]، در نتیجه این کانی‌ها به طور عادی سن و دیگر اطلاعات ایزوتوبی را از زمان تشکیل در خود حفظ می‌کنند. لذا اطلاعات حاصل از زیرکن‌ها برای محاسبه سن تبلور توده‌های

های زرگلی، لخشک، گپدان و جنوب زاهدان است که برای آگاهی از تاریخچه‌ی ماقماتیسم شرق ایران بسیار اهمیت دارند. مجموعه‌ی نفوذی لخشک در ۱۰ کیلومتری شمال غرب شهرستان زاهدان و در مسیر جاده‌ی زاهدان- به قرار گرفته است. سنگ‌شناسی و ژئوشیمی سنگ کل این مجموعه نفوذی است. سنگ‌شناسی و ژئوشیمی سنگ کل این مجموعه نفوذی در هاله‌ای لخشک، قبلاً توسط کعناییان و همکاران [۱۸] مورد بررسی قرار گرفته است، ولی سن دقیق تشکیل مجموعه نفوذی در هاله‌ای از ابهام قرار داشت. در این پژوهش، ویژگی‌های سنگ‌نگاری و تعیین سن U-Pb کانی‌های زبرکن و تیتانیت در گرانیتوئیدهای لخشک و دایک‌های آن مورد پژوهش قرار گرفته و تاریخچه‌ی ماقماتیسم منطقه روشن شده است. براساس نظر کعناییان و همکاران [۱۸]. سنگ‌های توده‌ی نفوذی لخشک از نوع آهکی-قلیایی و غالباً شبه‌آلومین بوده و از نظر فراوانی SiO_2 و Th در برابر P_2O_5 ، مشابه گرانیت‌های نوع I هستند. مقدار TiO_2 این سنگ‌ها در محدوده مقادیر TiO_2 گرانیت‌های حاشیه قاره است. مقادیر MgO , Na_2O , $\text{Mg}/\#$, Cr , Ni ، عدد # و Ba/La سنگ‌های مورد بررسی بیانگر ذوب بخشی لیتوسفر اقیانوسی فرورو پیش از بی آب شدن آن است [۱۸].

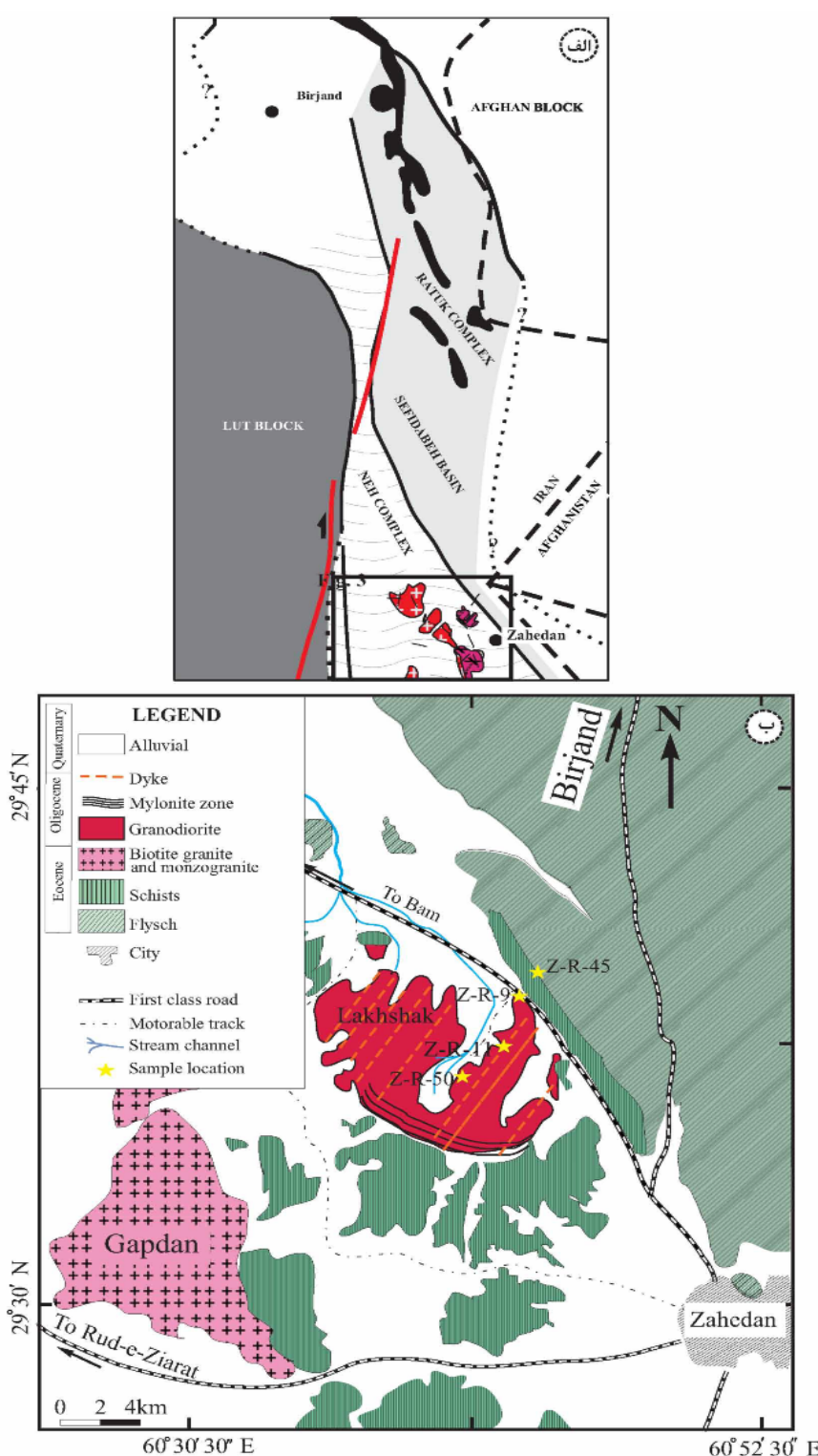
اقیانوسی سیستان به زیر بلوک افغان و بسته شدن بازوی نئوتیس در طی سونین-پالئوسن است (شکل‌های ۱ و ۲ الف) [۱۳-۱۱].

منطقه‌ی جوش‌خورده‌ی سیستان شامل انواع فلیش‌های درجه پایین و توده‌های نفوذی گرانیتوئیدی است (شکل ۲ ب). گرانیتوئیدهای زاهدان-سرavan در جهت شمال‌غربی-جنوب-شرقی گسترش داشته و کمی دگرشکل شده‌اند [۱۴]. رضایی-کهخایی و همکاران [۱۵] به نقش منطقه‌های برشی برای جایگیری گرانیتوئیدهای زاهدان-سرavan در فلیش‌های زمان ائوسن-الیگوسن اشاره کرد. سن فلیش‌ها با توجه به چینه‌شناسی منطقه و فسیل‌های شاخص بدست آمده نظیر *Nummulites aturicus* و *Nummulites Discoecyclina* کرتاسه بالایی تا ائوسن میانی در نظر گرفته می‌شود [۱۶]. توده‌های نفوذی که فلیش‌ها را قطع کرده‌اند از آن‌ها جوان ترند و احتمالاً حداقل سن ائوسن پایانی یا الیگو-میوسن را دارند. سال سنجی K-Ar روی چهار نمونه بیوپتیت سن بین ۳۱-۳۴ میلیون سال را برای یکی از این توده‌ها نشان داده است [۱۱]. اخیراً قاسمی و همکاران [۱۷] با بررسی چهار نمونه از گرانیت‌های جنوب زاهدان به روش Rb-Sr، سن ۵۳ میلیون سال را برای آن‌ها گزارش کرده‌اند.

گرانیتوئیدهای زاهدان-سرavan شامل تعدادی توده به نام



شکل ۱ منطقه‌های ساختاری ایران [۱۳] و منطقه‌ی مورد بررسی (شکل ۲) در شرق ایران که روی نقشه مشخص شده است.



شکل ۲ (الف): موقعیت منطقه‌ی جوش خورده‌ی سیستان، بلوک‌های لوت و افغان و مجموعه‌های نه و رتوک (اقتباس از تیرول و همکاران [۱۲] با اندکی تغییر). ب): نقشه‌ی زمین‌شناسی توده‌ی گرانیتئیدی لخشک و موقعیت نمونه‌های برداشت شده.

حوضه‌ی سفیدآبه که به ترتیب به منشورهای بهم افزوده و

حوضه‌ی پیش‌کمانی (fore arc) تقسیم می‌شوند [۱۲].

منشورهای به هم افزوده به دو بخش موازی به نامهای نه و

زمین‌شناسی عمومی

منطقه‌ی جوش خورده‌ی سیستان از دو بخش مجزا تشکیل شده است (شکل ۲ الف) که عبارتند از مجموعه‌ی نه-رتوک و

فاز دوم چین خوردگی های اولیه موجود در منطقه، دوباره چین خوردده و باعث تشکیل ریز چین هایی با سطح محوری شمال-شمال غربی شده است. فاز سوم دگر شکلی با سن پلیوسن-کواترنر رخ داده است. به نظر می رسد که فاز سوم دگر شکلی به برخورد سپر عربستان به بلوک ایران در زمان ترشیاری وابسته باشد [۱۲].

روابط زمین‌شناسی و سنگ‌نگاری الف) گرانودیوریت‌های توده‌ی لخشک

توده‌ی بیضوی شکل لخشک با راستای شمال غربی-جنوب شرقی در داخل سنگ‌های دگرگون ناحیه‌ای درجه‌ی ضعیف ائوسن (اسلیت و فیلیت) تزریق شده است (شکل ۳). سنگ‌های میزبان در محل همبری توده، دستخوش دگرگونی مجاورتی شده و به بیوتیت شیست و کردیریت بیوتیت شیست تبدیل شده‌اند. در بعضی جاها در مجاور رگه‌هایی از گدازه‌های گرانودیوریتی که به داخل سنگ‌های میزبان تزریق شده‌اند، درجه‌ی دگرگونی افزایش یافته و موجب تشکیل مقادیر اندکی از کانی‌های گارنت و سیلیمانیت نیز می‌شود [۱۸]. لایه بندی سنگ‌های میزبان در تمام مناطق اطراف توده موازی همبری آن است. بیشتر سنگ‌های توده‌ی گرانودیوریتی لخشک سالم بوده و به ندرت دستخوش دگر شکل شده‌اند (به جز حاشیه‌ی جنوب‌غربی توده). در حاشیه‌ی جنوب‌غربی توده، این گرانودیوریت‌ها دگر شکل شده و بافت میلونیتی در آن‌ها پدید می‌آید که دارای بریدگی موازی با برخوردگاه توده است، برون-بوم‌های موجود در توده‌ی لخشک میان دانه‌ای بوده و دارای ترکیب تونالیتی تا دیوریتی هستند. اندازه این برون‌بوم‌ها بین ۱ تا ۴۰ سانتی‌متر متغیر است.

توده‌ی گرانیتوئیدی لخشک دارای ترکیب بیوتیت هورنبلندر گرانودیوریت است. این سنگ‌ها در مجموع دارای ترکیب کانی-شناصی همگن هستند و در نمودار QAPF (کوارتز، فلدسپار قلایی، پلازیوکلاز و فلدسپات‌تئید [۲۰]) در گستره‌ی گرانودیوریت قرار دارند. این گرانودیوریت‌ها دارای بافت میان‌دانه و دانه‌ای بوده و از کانی‌های پلازیوکلاز (۴۷٪)، کوارتز (۱۹٪)، پتاسیم‌فلدسبار (۱۴٪)، بیوتیت (۱۱٪)، هورنبلندر (۷٪) (شکل ۴ الف) و کانی‌های فرعی مثل زیرکن، آپاتیت، اسفن و آلانیت (کمتر از ۲٪) تشکیل شده‌اند که خصوصیات سنگ‌نگاری هر یک از این کانی‌ها در ادامه توضیح

رتوك تقسیم می‌شوند. مجموعه نه در سمت غرب منطقه‌ی جوش خوردده‌ی سیستان و مجموعه‌ی رتوك در سمت شمال نقشه قرار دارد (شکل ۲ الف)، همچنین در حوضه‌ی سفیدآبه بخش‌هایی از مجموعه‌ی رتوك به صورت پراکنده رخمنون دارند. منشورهای بهم افزوده منطقه‌ی جوش خوردده‌ی سیستان دارای تنوع زیادی از انواع سنگ‌ها شامل افیولیت‌های سنومانین تا ماستریشن، فیلیت‌های کرتاسه تا ائوسن و سنگ‌های رسوی پالئوسن هستند. سنگ‌های افیولیتی تقریباً ۳۰٪ مجموعه نه و رتوك را تشکیل می‌دهند و شامل گدازه‌های بالشی و گابروهای لایه‌ای است که به‌وسیله‌ی دایک‌های دیابازی قطع شده‌اند. در بالای این مجموعه سنگ‌های رسوی اساساً چرت‌های رادیولاریت‌دار و آهک‌های پلازیک قرار گرفته‌اند. ضخامت این سنگ‌های رسوی کم و در حد چند متر است و گاهی دارای فسیل‌های با سن تورونین تا ماستریشن هستند. هارزبورژیت بندرت در منطقه‌ی جوش خوردده‌ی سیستان یافت می‌شود. این هارزبورژیت‌ها از کانی‌های کلینوپیروکسن و پلازیوکلاز تشکیل شده‌اند و گاهی تا رخساره‌ی اکلوزیت دگرگون شده‌اند. رخساره‌ی اکلوزیت منطقه‌ی جوش خوردده‌ی سیستان در فشار بین ۲۳ - ۱۹ گیگا پاسکال تشکیل شده است که نشان‌دهنده‌ی فرورانش لیتوسفر اقیانوسی به اعماق بیش از ۶۵ تا ۸۰ کیلومتر است [۱۹]. فیلیت‌های موجود در منطقه‌ی جوش خوردده‌ی سیستان رسوپ‌های توربیدیاتی با سن پالئوسن-ائوسن هستند که طی فرورانش لیتوسفر اقیانوسی سیستان به زیر بلوک افغان دستخوش دگر شکلی و دگرگونی ناحیه‌ای شده‌اند. این فیلیت‌ها سنگ در برگیرنده‌ی توده‌ی گرانودیوریتی لخشک را تشکیل می‌دهند و دارای برگوارگی اسلیتی هستند که با جهت‌یابی ترجیه‌ی کانی‌های بیوتیت ± سریسیت ± کلریت مشخص می‌شود. راستای این برگوارگی شمال‌غربی - جنوب‌شرقی است [۱۸].

در رسوپ‌های حوضه‌ی سفیدآبه سه فاز دگر شکلی وابسته به سنوزوئیک ثبت شده‌اند [۱۲]. دوتای اول این فازها بین اوایل ائوسن و اوایل میوسن رخ داده‌اند. قدیمی‌ترین فاز بشکل یک گسل با روند تقریبی راستگرد عمل کرده است. فاز دوم دگر شکلی روی سنگ‌های دگرگونی منطقه عمل کرده و سبب ایجاد گسل‌های زوج Strike-Slip شده که بر اثر کوتاه‌شدنگی بیشینه در جهت شرق-شمال شرق رخ داده‌اند. همچنین در اثر

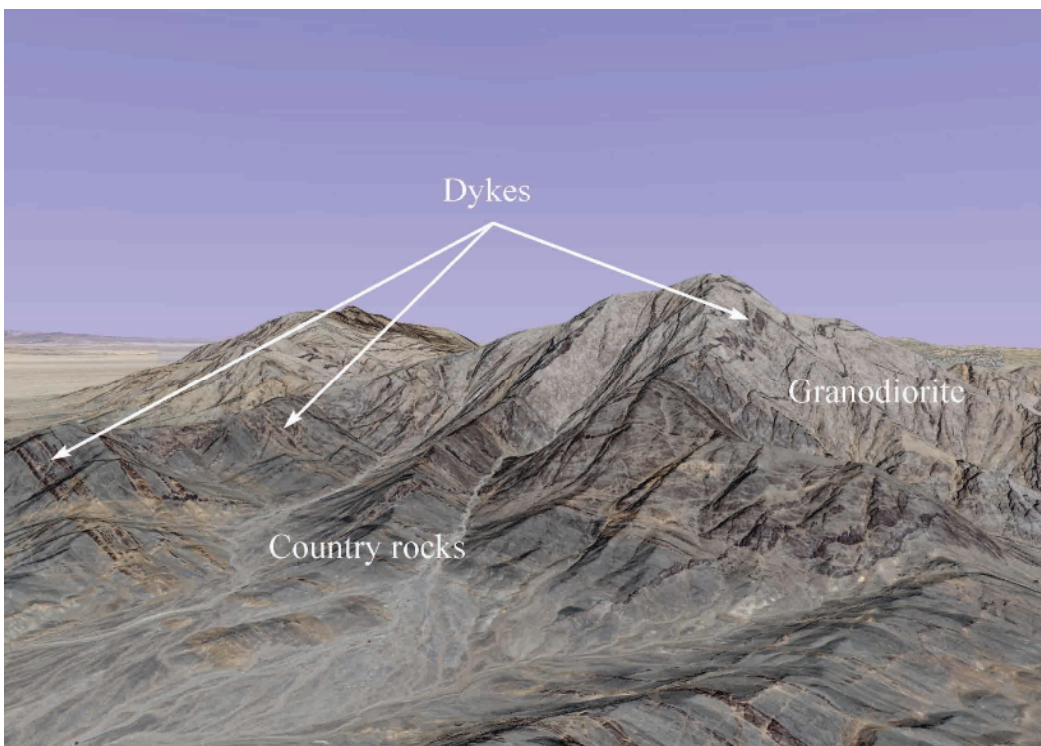
سنگ‌های گرانودیوریتی حاشیه جنوب‌غربی توده به یکی از راههای مهاجرت مرز دانه‌ها، چرخش و خرد شدن دانه‌ها و تبلور ایستایی دستخوش تجدید تبلور شده‌اند [۲۱، ۲۲]. بیویت‌های موجود توده‌ی گرانودیوریتی لخشک معمولاً نیمه-شکل‌دار بوده و دارای اندازه‌ی بین ۱-۲ میلی‌متر هستند. گاهی این بیویت‌ها دارای نفوذی‌هایی از آپاتیت‌های سوزنی و زیرکن‌های کوچک هستند. همچنین در بعضی از نمونه‌ها این بیویت‌ها با هورنبلندهای سبز هم‌رشدی نشان می‌دهند.

هورنبلند سبز در گرانودیوریت‌های لخشک دارای اندازه‌ی ۰-۸ میلی‌متر بوده و کانی‌های شکل‌دار تا نیمه‌شکل‌دار و میان دانه‌اند. مقدار هورنبلند سبز در این سنگ‌ها یکسان نبوده و بین صفر تا ۷ درصد تغییر می‌کند.

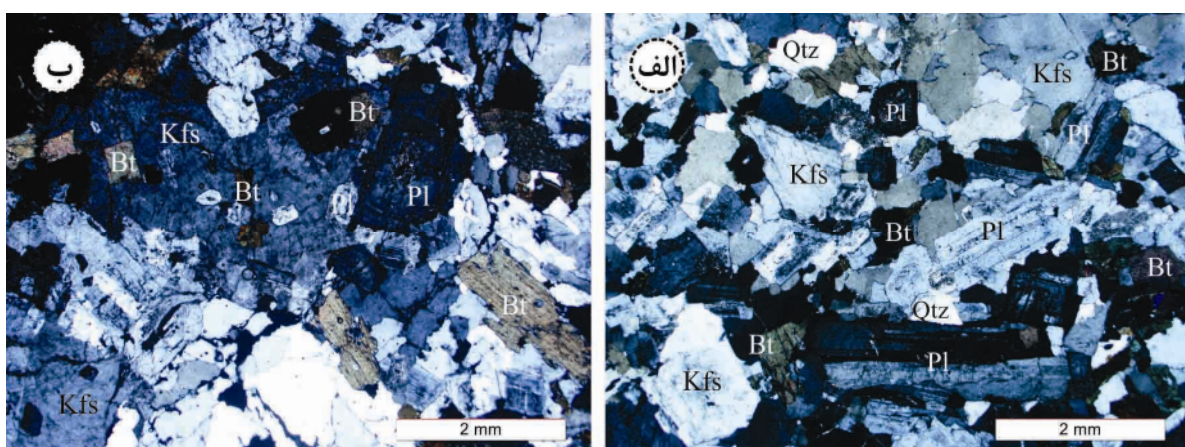
دو نوع آپاتیت در نمونه‌ها دیده می‌شوند. نوع اول آپاتیت‌های سوزنی هستند که به شکل نفوذی در بیویت، کوارتز، پلازیوکلاز و پاتاسیم فلدسپارها دیده می‌شوند. این آپاتیت‌ها به ندرت در درون هورنبلند دیده شده‌اند. آپاتیت‌های نوع دوم تقریباً هم‌بعد بوده و به صورت همگن در درون سنگ‌های توده دیده می‌شوند. این آپاتیت‌ها فراوانی کمتری نسبت به آپاتیت‌های نوع اول دارند.

داده می‌شود. پلازیوکلازها خودشکل تا نیمه‌شکل‌دار بوده و معمولاً منطقه‌بندي نشان می‌دهند. این کانی‌ها دارای اندازه‌ای بین ۱ تا ۱/۵ میلی‌متر هستند و در بعضی نمونه‌ها نفوذی‌هایی از آپاتیت و زیرکن در داخل آنها مشاهده می‌شوند. پلازیوکلازها معمولاً سالم بوده و به ندرت به کانی‌های ثانویه نظیر کلسیت و اپیدوت تجزیه شده‌اند.

بلورهای پاتاسیم فلدسپار نیمه‌شکل‌دارند و اندازه‌ی این بلورها تقریباً ۱ میلی‌متر بوده و تجزیه نشده‌اند. پاتاسیم فلدسپارها گاهی به صورت درشت بلورهایی (مگاکریست‌هایی) با بافت ریزدانه‌ای در برخی از نمونه‌ها دیده می‌شوند و شامل تعداد زیادی نفوذی‌های کوچک از پلازیوکلاز، کوارتز، هورنبلند سبز و بیویت هستند (شکل ۴ ب). همچنین در بعضی از نمونه‌های سنگ‌های دگرشکل شده، بافت پرتیتی شعله‌ای و میکروکلین تشکیل شده است. کوارتز در حدود ۱۹٪ از نمونه‌ها را تشکیل می‌دهد. کانی‌های کوارتز در فضای خالی بین دیگر کانی‌های سنگ تشکیل شده و بی‌شکل و شفاف هستند. در تعدادی از کانی‌های کوارتز نفوذی‌های آپاتیت دیده می‌شوند. اغلب کوارتزهای موجود در



شکل ۳ نمایی از توده گرانودیوریتی لخشک و سنگ‌های میزان در محل همبrij توده، متحمل دگرگونی مجاورتی شده و به بیویت شیست و اکتینولیت بیویت تبدیل شده‌اند.



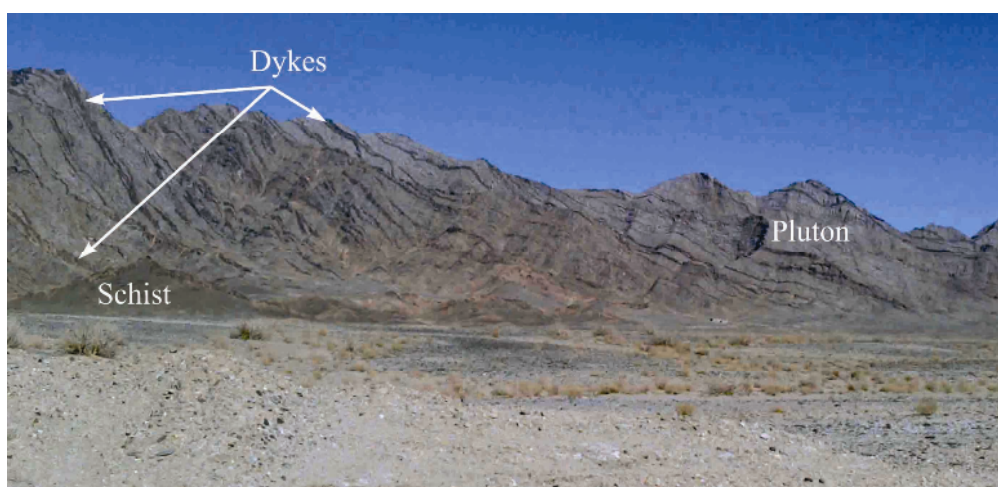
شکل ۴ (الف): مجموعه‌ی کانی‌های تشکیل دهنده‌ی توده‌ی گرانیتoidی لخشک. (ب): یک درشت بلور پتاسیم فلدسپار و نفوذی‌های از بیوتیت و پلازیوکلاز در آن. (نور XPL). اختصارات کانی‌ها از کرتز [۲۳] اقتباس شدند.

روش بررسی

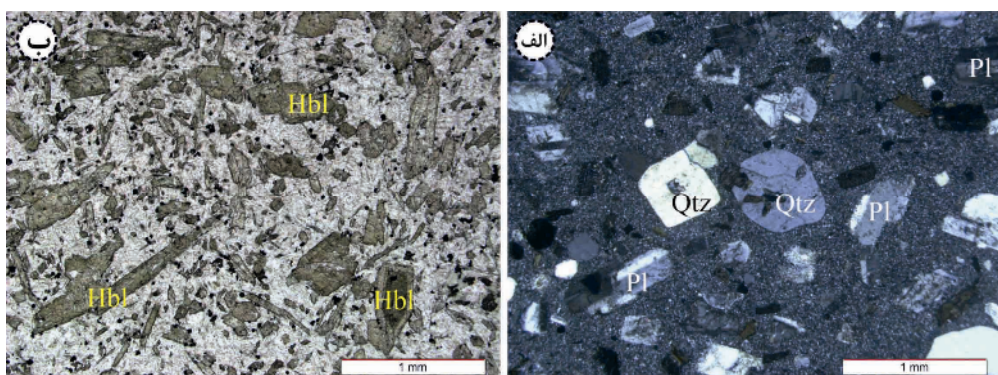
بیش از ۲۵۰ نمونه‌ی دستی از توده‌ی لخشک و دایک‌های آن جمع‌آوری شدند. سپس چهار نمونه از بهترین نمونه‌های جمع‌آوری شده به‌وسیله‌ی سنگ‌شکن شکسته شدند و از خردکن تخصصی مدل SK100 برای خردکردن نمونه به اندازه‌ی بین ۰۳۸ – ۰۵۰ میکرون استفاده شد. پس از آن کانی‌های سنگین با استفاده از میز لرزان، جداسازی مغناطیسی و غوطه‌وری در مایع سنگین (دی‌یدید متیلن)، جداسازی شدند. در نمونه‌های بدست آمده از توده‌ها، آنالیز روی گروه‌های چندتایی از بلورهای زیرکن انجام شد و روی دایک‌های روی تک بلور بررسی انجام شد. انتخاب این گروه‌های براساس ویژگی ظاهری بلورهای زیرکن و میزبان احلال آنها با استفاده از اسید HF صورت گرفت. بلورهای زیرکن سپس در بمب‌های تفلونی به مدت ۵ شبانه روز در داخل کوره با دمای ۱۸۹ درجه‌ی سانتی‌گراد قرار داده شدند. سپس ۱۰ قطره ۳HCl به نمونه‌ها اضافه شدند و دوباره نمونه‌ها داخل بمب تفلونی به مدت ۲۴ ساعت در دمای ۱۸۹ درجه‌ی سانتی‌گراد قرار داده شدند. پس از آن عناصر اورانیوم و سرب از عناصر دیگر نظری یک گرمکن، این عناصر از آب و اسیدهای همراه پاک شده و برای اندازه‌گیری ایزوتوپ‌های اورانیوم و سرب نمونه‌های خشک شده با Si-gel مخلوط شدند. مراحل آماده‌سازی تیتانیت‌ها با اندکی تغییر مشابه زیرکن بوده است. مثلاً به جای بمب‌های تفلونی از ظروف پلاستیکی درب‌دار استفاده شد. تجزیه‌های U-Pb به روش-ID TIMS در دانشگاه اسلو نروژ و به وسیله‌ی طیف سنج جرمی مدل MAT 262 انجام شد.

دایک‌ها

دایک‌های مورد بررسی دارای روند شمال‌شرقی هستند و از نظر سنگنگاری به دو گروه تقسیم می‌شوند (شکل ۵). گروه اول ترکیب داسیتی دارند و از فنوکریسته‌های کوارتز و پلازیوکلاز تشکیل شده‌اند. این دایک‌ها دارای فراوانی بیشتری نسبت به گروه دوم هستند که دارای ترکیب مونزودیوریتی هستند، و ضخامتی بین ۱ تا ۱۲ متر دارند. دایک‌های داسیتی دارای بافت‌های پورفیری و گلومروپورفیری (بلورهای به هم چسبیده پلازیوکلاز) هستند و از کانی‌های پلازیوکلاز، بیوتیت، کوارتز، هورنبلندهای سبز و قهوه‌ای و کانی‌های فرعی کدر، تیتانیت و آپاتیت تشکیل شده‌اند (شکل ۶ (الف)). پلازیوکلازها بلورهای خودشکل و دارای منطقه‌بندی هستند. بلورهای پلازیوکلاز موجود در برخی از نمونه‌ها، گاهی بافت غربالی داشته و نفوذی‌هایی از آپاتیت و زیرکن در آنها دیده می‌شوند. بلورهای بیوتیت شکل‌دار بوده و در بعضی نمونه‌ها به مقدار کم به کلریت و اپیدوت تجزیه شده‌اند. آمفیبول‌ها شکل‌دار تانیمه شکل‌دار با ترکیب هورنبلند سبز و قهوه‌ای هستند. بلورهای کوارتز شکل‌دار بوده و گاهی خورده‌گی (بافت خلیجی) نشان می‌دهند (شکل ۶ (الف)). دایک‌های دوم گروه دارای ترکیب مونزودیوریتی هستند و ضخامتی بین ۶ سانتی‌متر تا ۱۵ متر دارند. این گروه بافت ریز دانه‌ای هستند و از بلورهای پلازیوکلاز و هورنبلندهای قهوه‌ای تشکیل شده‌اند (شکل ۶ (ب)). در این نمونه‌ها گاهی کانی‌های کلینوپیروکسن نیز با فراوانی چند درصد مشاهده می‌شود. بررسی‌های صحرایی و سنگ‌نگاشتی نشان داد که دایک‌های داسیتی و مونزودیوریتی موجود در توده‌ی ریزدانه‌ای لخشک فاقد حاشیه انجام‌داد سریع هستند. دلیل آن شاید به خاطر عدم سرد شدن کامل این توده در زمان نفوذ دایک‌ها باشد.



شکل ۵ نمایی از توده گرانوودیوریتی لخشک که به وسیله‌ی دایک‌های موازی فراوانی از جنس مونزودیوریت و داسیت قطع شده است.



شکل ۶ الف): تصویر سنگنگاری از دایک‌های داسیتی و کانی‌های موجود در آن (نور (XPL). ب): تصویر سنگنگاری از دایک‌های مونزودیوریتی و کانی‌های موجود در آن (نور (PPL). اختصارهای کانی‌ها از کرتز [۲۳] اقتباس شده‌اند.

زیرکن (و به مقدار کمتر در کانی‌های دیگر نظیر تیتانیت و مونازیت) مزایای زمین-زمان‌سنجدی خاصی را برای این کانی‌ها فراهم کرده و مشکل سرب اولیه موجود در این کانی‌ها را به کمینه رسانده است [۲۷]. همچنین وجود دو ایزوتوپ رادیوژنیک ^{238}U و ^{235}U در کانی‌های زیرکن که به ترتیب به دو ایزوتوپ پایدار ^{206}Pb و ^{207}Pb تبدیل می‌شوند، این امکان را برای پژوهندگان فراهم کرده که تنها به یاری یک نمونه بتوانند سن دقیق سنگ‌های مورد بررسی را تعیین کنند. این در حالی است که برای تعیین سن به روش‌های دیگر، به بیش از سه نمونه نیاز است که در یک زمان و از یک مagma متابولور شده باشند. چهارم، زیرکن یک کانی فرعی در بیشتر سنگ‌های آذرین و بخصوص سنگ‌های گرانیت‌یدی است [۲۸]. ویژگی‌های فوق کانی زیرکن را به بهترین ساعت زمین‌گاه شماری تبدیل کرده است. این مطالب و نیز فراوان بودن کانی‌های زیرکن و تیتانیت در سنگ‌های توده گرانوودیوریتی لخشک و دایک‌های آن سبب شد که نویسنده‌گان این مقاله سن سنگ‌های مورد بررسی این مقاله را با اندازه گیری نسبت ایزوتوپ-

سال‌سنجدی U-Pb و تعیین سن سنگ‌های توده‌ی لخشک و دایک‌های آن

تعیین سن ایزوتوپی U-Pb یکی از دقیق‌ترین و صحیح‌ترین روش‌ها برای براورد سن سنگ‌های آذرین و دگرگون بوده است [۲۶-۲۴]. مناسب‌ترین کانی‌ها برای تعیین سن با این روش، زیرکن، تیتانیت، مونازیت و بادلکیت هستند. در این میان زیرکن اولین و بهترین کانی‌ای بود که برای بیشتر کارهای سال‌سنجدی از آن استفاده می‌شد. زیرا این کانی دارای ویژگی‌های منحصر به فردی است که آن را خیلی مناسب برای زمین‌زمان‌سنجدی ساخته شد. از همه‌ی زیرکن یک کانی سخت است (سختی ۷/۵)، به این معنی که در مقابل هوازدگی فیزیکی خیلی مقاوم است. دوم اینکه کانی زیرکن در مقابل هوازدگی شیمیایی و دگرگونی مقاومت زیادی دارد و سیستم آن به صورت بسته باقی می‌ماند. سوم، این کانی دارای ضریب جدایش بالایی برای U (و به مقدار کمتر Th) و ضریب جدایش پایینی برای Pb است که نتیجه‌ی آن بالا بودن نسبت $^{238}\text{U}/^{204}\text{Pb}$ در این کانی است. بالا بودن این نسبت در

عدد)، (ب) زیرکن‌های طویل و شیری رنگ (۱۷ عدد) و (ج) سر زیرکن‌ها (۲۲ عدد) هستند (جدول ۱، شکل ۷ الف). دو بیضوی مربوط به بلورهای طویل شیری و سر زیرکن‌ها دارای سن میانگین $= 29.86 \pm 0.05$ میلیون سال با MSWD(Mean Square Weighted Deviation) هستند که همپوشانی نسبتاً خوبی دارند. علاوه بر آن دو گروه از تیتانیت‌های نمونه‌ی Z-R-9 (شامل تیتانیت‌های بزرگ و تیتانیت‌های کوچک) نیز برای تعیین سن U-Pb انتخاب شدند (شکل ۷ ب). این تیتانیت‌ها بازه‌ی زمانی $= 29.824 \pm 0.086$ میلیون سال با $= 1/17$ MSWD برای تبلور توده نشان می‌دهند. در مجموع پنج آنالیز روی بلورهای زیرکن و تیتانیت انجام شد که بهترین سن بدست آمده برای تبلور سنگ $= 29.9 \pm 0.1$ میلیون سال در نظر گرفته شده است (شکل ۸).

های U و Pb موجود در این کانی‌ها تعیین کنند. زیرکن‌های انتخاب شده برای بررسی دارای نسبت U/Th بزرگتر از ۰/۲ هستند که از ویژگی‌های زیرکن‌های ماقمایی است (جدول ۱) [۲۹]. همچنین تاکید بر این است که چیزی که به عنوان زیرکن‌های ماقمایی در این مقاله در نظر گرفته شده، مجموعه‌ای از چند دانه هستند که جوان‌ترین سن‌ها را در هر نمونه نشان می‌دهند.

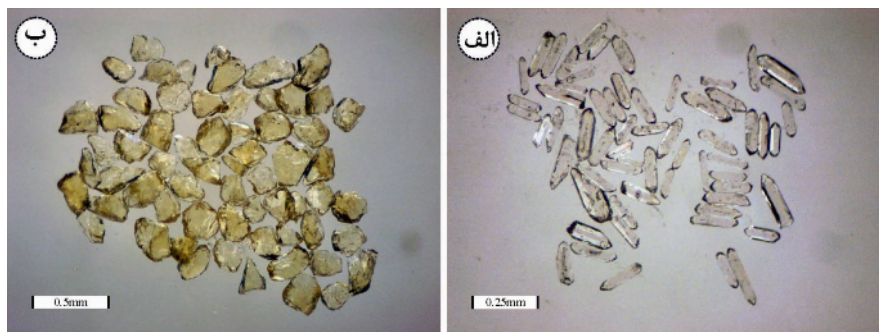
توده‌ی گرانوڈیوریتی لخشک

نمونه‌ی شماره Z-R-9: این نمونه از سنگ‌های گرانوڈیوریتی توده انتخاب شده و از محلی نزدیک به حاشیه‌ی توده برداشت شده است. نمونه‌ی شماره‌ی Z-R-9 دارای بلورهای زیرکن، اساساً کوچک، زاویدار و بسیار شفاف هستند. بنابراین تعیین گروه‌های زیرکن در این نمونه بر اساس شکل و رنگ پس از انحلال جزئی به‌وسیله‌ی اسید HF انتخاب شدند. گروه‌های زیرکنی انتخاب شده برای تعیین سن شامل (الف) بلورهای طویل و شفاف زیرکن (۳۵)

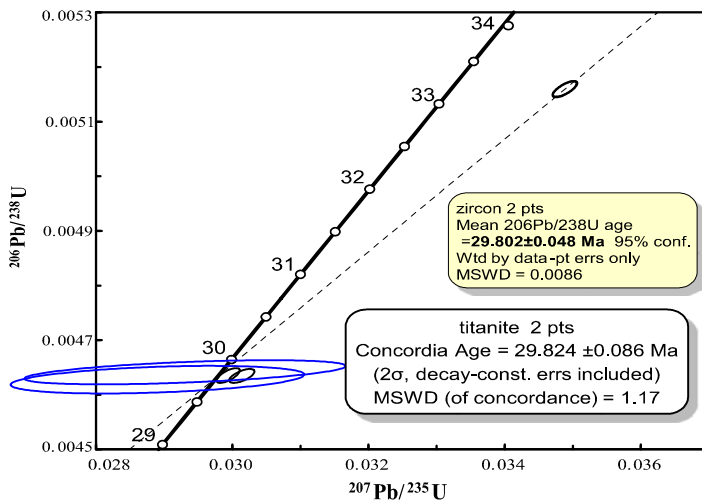
جدول ۱ داده‌های U-Pb برای زیرکن‌ها و تیتانیت‌های مجموعه نفوذی لخشک.

Properties	Weight [ug]	U [ppm]	Th/U	Pbcom [pg]	^{206}Pb	^{204}Pb	^{207}Pb	^{235}U	2 sigma %	$^{206}\text{Pb}/^{238}\text{U}$	2 sigma %	rho	$^{207}\text{Pb}/^{235}\text{U}$	2 sigma	$^{206}\text{Pb}/^{238}\text{U}$	2 sigma
Lakhshak pluton, sample Z-R-9																
35 L.C.G.zircons	۵۰	۴۶۰/۱۴۸	۰.۵۲	۳.۶۸	۲۰۳۶/۱۸	-۰.۲۴۸۸	۰/۰۰۰۱۴۴	۰/۰۰۰۵۱۵۹	۰/۰۰۰۱۱	-۰/۷۳	۲۴.۸۱	-۰/۱۴۱	۳۳/۱۷	-۰/۰۷۶		
17 L.M.G. zircons	۵۶	۲۲۹/۰.۲۹	۰.۸۵	۳.۰۶	۱۸۱۸/۰.۵۰	-۰.۲۹۹۷	۰/۰۰۰۱۲۸	۰/۰۰۰۴۶۴۴	۰/۰۰۰۱۱	-۰/۶۹	۲۹.۹۸	-۰/۱۲۶	۲۹.۸۰	-۰/۰۷۲		
23 Tips of zircons	۵۳	۳۱۵۶۸۸	۰.۷۳	۲.۷۹	۱۷۵۳/۴۲	-۰.۲۰۱۶	۰/۰۰۰۱۵۰	۰/۰۰۰۴۶۲۳	۰/۰۰۰۱۰	-۰/۶۳	۳۰.۱۷	-۰/۱۴۸	۲۹.۸۰	-۰/۰۶۶		
Big titanites	۶۶۷	۱۲۶/۱۹۸	۳/۴۱	۱۴۲۲/۲۲	۳۵.۹۷	-۰.۲۹۳۴	۰/۰۰۰۱۹۰۷	۰/۰۰۰۴۶۴۰	۰/۰۰۰۱۸	-۰/۵۲	۲۹.۳۷	-۱/۸۷۹	۲۹.۸۴	-۰/۱۱۶		
Small titanites	۵۷۱	۱۲۵.۶۲۹	۳.۷۵	۱۲۲۸/۲۲	۳۵.۶۹	-۰.۲۸۹۵	۰/۰۰۰۱۷۴۳	۰/۰۰۰۴۶۲۶	۰/۰۰۰۲۰	-۰/۳۶	۲۸.۹۷	-۱/۷۱۹	۲۹.۷۵	-۰/۱۳۲		
Lakhshak pluton, sample Z-R-50																
23 L.C.G. zircons	۲۷	۲۰.۸/۶۰.۴	۰.۷۳	۴.۴۰	۳۹۰/۴۵	-۰.۲۰۲۹	۰/۰۰۰۳۵۵	۰/۰۰۰۴۶۴۷	۰/۰۰۰۱۱	-۰/۴۶	۳۰.۳۰	-۰/۳۵	۲۹.۸۹	-۰/۰۷۶		
32 Semi L.Partial M.G. zircons	۸۳	۳۴۹/۴۶۷	۰.۷۷	۲.۶۰	۳۴۸۸/۰.۰۵	-۰.۲۲۷۴	۰/۰۰۰۱۰۳	۰/۰۰۰۴۹۶۷	۰/۰۰۰۱۰	-۰/۷۵	۲۲.۷۱	-۰/۱۰۱	۳۱.۹۴	-۰/۰۶۶		
30 S.Partial M.G. zircons	۶۰	۲۵۳/۲۱۶	۰.۶۹	۵.۰۴	۱۴۷۰/۰.۷۸	-۰.۲۶۴۵	۰/۰۰۰۱۶۷	۰/۰۰۰۵۵۱۳	۰/۰۰۰۱۳	-۰/۷۰	۳۶.۴۵	-۰/۱۶۴	۳۵.۴۴	-۰/۰۸۵		
Small titanites	۱۴۶۵	۸۳/۱۰۶	۵/۳۴	۳۰۰/۴۷۱	۳۰.۰۶	-۰.۲۶۰۱	۰/۰۰۰۲۵۸۳	۰/۰۰۰۴۴۹۹	۰/۰۰۰۰۶۰	-۰/۲۸	۲۶.۰۷	-۲/۵۵۳	۲۸.۶۱	-۰/۳۸۹		
Big titanites	۲۰۰	۷۷.۴۷۰	۵/۱۷	۳۹۹/۳۰	۲۹.۴۳	-۰.۲۲۸۴	۰/۰۰۰۷۱۳	۰/۰۰۰۴۶۲۴	۰/۰۰۰۰۶۱	-۰/۹۹	۳۲.۸۰	-۶/۸۷۱	۲۹.۷۴	-۰/۳۹۲		
Microdiorite dyke, sample Z-R-11																
2 L.G. zircons	۱	۹۴۳/۳۰۷	۰.۶۵	۰.۵۲	۶۶۶/۲۵	-۰.۳۷۵۲	۰/۰۰۰۸۱۰	۰/۰۰۰۵۸۰	۰/۰۰۰۶۶	-۰/۵۸	۳۷.۴۰	-۰/۷۹۲	۳۷/۲۸	-۰/۴۲۵		
2 Semi C.G. zircons	۱	۹۲۸/۹۴۴	۱.۰۳	۰.۷۹	۳۴۸/۰.۰۵	-۰.۲۸۸۲	۰/۰۰۰۱۲۴۹	۰/۰۰۰۴۹۷۷	۰/۰۰۰۱۷	-۰/۲۱	۲۸.۸۵	-۱/۲۳۲	۲۸.۹۲	-۰/۱۱۲		
1 Tips of zircons	۱	۸۶۱/۲۰۸	۱.۲۶	۰.۴۲	۵۸۷/۰.۲	-۰.۲۹۲۹	۰/۰۰۰۵۰۸	۰/۰۰۰۴۵۱۹	۰/۰۰۰۰۳۸	-۰/۵۶	۲۹.۳۲	-۰/۰۵۱	۲۹.۰۶	-۰/۲۴۸		
Titanites	۴۵	۱/۰۶۷	۱/۰۱	۲.۹۴	۵۴/۷۵	-۰.۲۲۸۷۵	۰/۰۰۰۳۸۶۲۵	۰/۰۰۰۴۱۳	-۰/۶۹	۲۰.۷/۵۱	۲۱/۴۷۷	۲۲۴/۹۳	۲/۵۷۲			
Dacite dyke, sample Z-R-45																
1 G. zircon	۱	۴۹۵/۷۰۸	۰.۴۹	۲.۰۲	۸۴.۸۲	-۰.۲۸۹۹	۰/۰۰۰۲۱۱	۰/۰۰۰۴۳۳۰	۰/۰۰۰۰۵۲	-۰/۴۸	۲۹.۰۲	-۳/۱۶۴	۲۷.۸۵	-۰/۳۲۸		
1 G. zircon	۱	۵۰.۸/۴۷۵	۰.۴۵	۱/۱۹	۲۰.۵/۱۵	-۰.۴۶۵۹	۰/۰۰۰۱۹۰۴	۰/۰۰۰۷۰۲۸	۰/۰۰۰۰۲۳	-۰/۶۳	۴۶.۲۴	-۱/۸۴۶	۴۵.۱۴	-۰/۱۵۰		
Small titanites	۱۹۱	۹۲۵/۲۱	۰.۹۲	۳۵۷/۲۲	۳۲.۸۲	-۰.۲۴۵۸	۰/۰۰۰۱۵۸۸۱	۰/۰۰۰۴۵۸۵	۰/۰۰۰۰۲۱۱	-۰/۷۳	۳۴.۰۲	-۱۵/۴۶۹	۲۹.۴۹	-۱/۳۵۹		
Big titanites	۶۱	۸۹.۴۲۴	۰.۸۲	۱۰۴/۷۱	۳۳.۴۵	-۰.۲۹۷۹	۰/۰۰۰۷۱۵۱	۰/۰۰۰۴۵۴۵	۰/۰۰۰۱۱۴	-۰/۰۹	۲۹.۸۱	-۷/۰۲۸	۲۹.۲۳	-۰/۷۳۹		

اختصارات: L = Long (طویل)، G = Grain (شفاف)، C = Clean (دانه)، M = Milky (شیری)، نسبت Th/U از داده‌های $^{208}\text{Pb}/^{206}\text{Pb}$ و سن نمونه بدست آمده است. Pbcom = مقدار سرب اولیه است. ۲ sigma = مقدار خطای اندازه گیری می‌باشد.



شکل ۷ بلورهای زیرکن (الف) و کانی‌های تیتانیت (ب) بدست آمده از نمونه‌ی شماره‌ی Z-R-9 که از حاشیه توده‌ی لخشک تهیه شده‌اند.



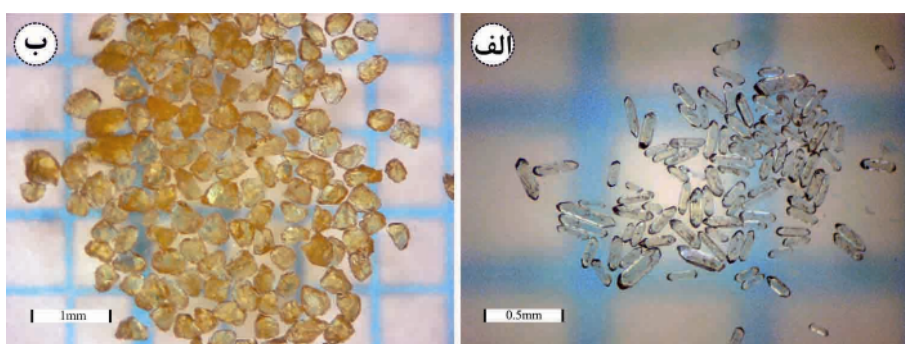
شکل ۸ نمودار کنکوردیای نمونه‌ی Z-R-9 با استفاده از ۲ گروه زیرکن و ۲ گروه تیتانیت انتخاب شدند. این نمودار سن کنکور迪ا را 29.9 ± 0.1 میلیون سال برای تبلور و بسته شدن سیستم این کانی‌ها پیشنهاد می‌کند.

دایک‌ها

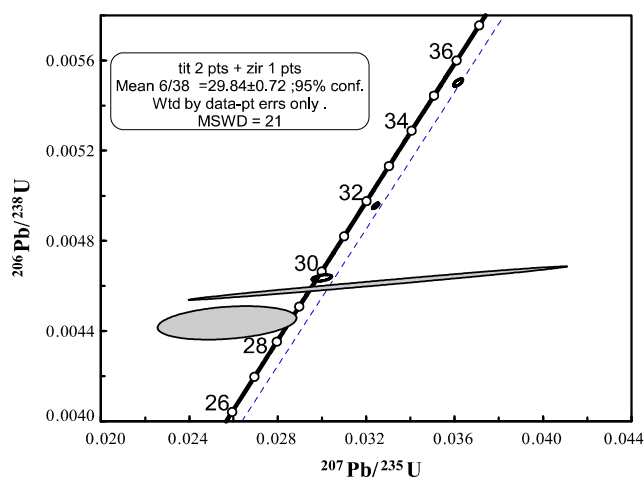
ترکیب دایک‌ها مونزودیوریتی و داسیتی بوده و با نفوذ به منطقه‌ی مورد بررسی، توده و سنگ‌های در برگیرنده‌ی اطراف آن را قطع کرده‌اند. دو نمونه از آنها با شماره‌های Z-R-11 و Z-R-45 برای تعیین سن انتخاب شدند.

نمونه‌ی Z-R-11: این نمونه به یک دایک مونزودیوریتی واپس‌تہ است که از داخل توده انتخاب شده است (شکل ۲ ب). متسافانه این نمونه دارای تعداد کمی بلور زیرکن بود. که در نهایت ۵ بلور زیرکن شامل ۲ بلور درشت و شفاف، ۲ بلور نیمه شفاف و یک سر بلور زیرکن برای تعیین سن انتخاب شدند (جدول ۱، شکل ۱۱ الف) که به ترتیب سن‌های 28.9 ± 0.1 و 28.9 ± 0.2 میلیون سال را ارائه دادند. دو زیرکن همپوشان خوب و قابل قبولی داشتند و سن کنکورديا دایک مونزودیوریتی در نظر گرفته شد (شکل ۱۱ ب).

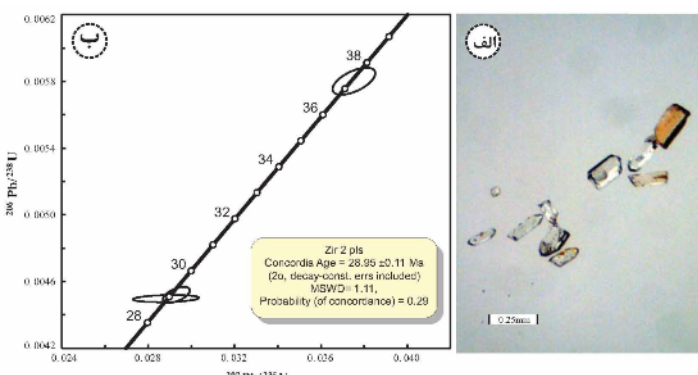
نمونه‌ی Z-R-50: این نمونه تقریباً از مرکز توده انتخاب شده و زیرکن‌های آن اساساً کوچک، شفاف، راویدار و با اشکال مختلف هستند. همه بلورها بین ۲۰-۲۵۰ میکرومتر طول دارند و نسبت طول به عرض آن‌ها بین ۱ تا ۷ است. سه گروه زیرکن برای تعیین سن این نمونه انتخاب شدند که عبارتند از زیرکن‌های طویل و شفاف (۲۳ عدد) زیرکن‌های نیمه طویل و شیری (۳۲ عدد) و زیرکن‌های کوتاه و شیری (۳۰ عدد). (جدول ۱، شکل ۹ الف). این گروه‌های زیرکنی به ترتیب سن‌های 29.89 ± 0.08 و 29.87 ± 0.07 و 31.95 ± 0.09 میلیون سال را برای تبلور سنگ نشان می‌دهند. دو گروه تیتانیت شامل کانی‌های بزرگ با اندازه‌ی میانگین 0.065 میلی‌متر و کانی‌های کوچک با اندازه‌ی میانگین 0.18 میلی‌متر برای آنالیز U-Pb انتخاب شدند که سن کنکورديای 28.6 ± 0.4 میلیون سال را نشان می‌دهند (شکل ۹ ب). بنابراین برای نمونه Z-R-50 سن میانگین بدست آمده از تیتانیت‌ها و زیرکن‌ها 29.84 ± 0.72 میلیون سال است (شکل ۱۰).



شکل ۹ (الف): بلورهای زیرکن جدا شده از نمونه‌ی Z-R-50. (ب): کانی‌های تیتانیت که از نمونه‌ی Z-R-50 تهیه شده‌اند. فاصله خطوط آبی عکس‌ها از یکدیگر یک میلیمتر است.



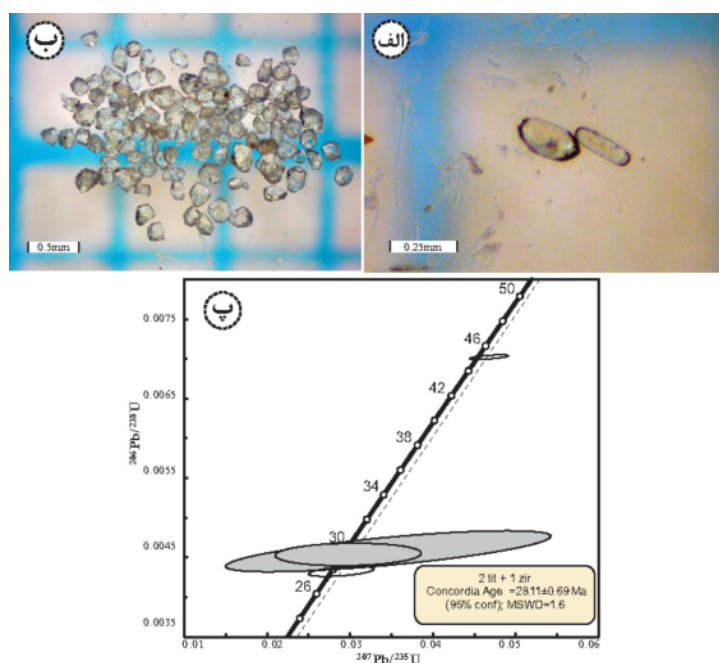
شکل ۱۰ نمودار کنکوردیای تعیین سن بلورهای زیرکن و تیتانیت برای نمونه Z-R-50 که سن میانگین 29.84 ± 0.72 میلیون سال را برای تشکیل نمونه پیشنهاد می‌کند.



شکل ۱۱ (الف): بلورهای زیرکن انتخاب شده برای تعیین سن و شکل آنها که از نمونه‌ی Z-R-11 جمع آوری شده‌اند. (ب): نمودار کنکوردیا برای نمونه 11-Z-R که مربوط به یک دایک مونزودیوریتی است. براساس این نمودار سن تشکیل این دایک 28.95 ± 0.11 میلیون سال درنظر گرفته شد.

کوارتز، پاتاسیم‌فلدسبار، بیوتیت، و هورنبلند سبز ($\text{Fe}^{+2}/\text{Mg} < 0.4$) است. کانی‌های فرعی نمونه‌ی Z-R-45 شامل زیرکن، تیتانیت، مونازیت و آپاتیت است. متاسفانه تنها دو بلور زیرکن از این نمونه‌ی سنگی بدست آمدند (شکل ۱۲ (الف)), یکی از بلورها

نمونه‌ی Z-R-45: این نمونه از یک دایک داسیتی نفوذ کرده در سنگ‌های دربرگیرنده اطراف توده انتخاب شد. عرض این دایک حدود $1/5$ متر و در شرق توده‌ی مورد بررسی قرار دارد و دارای بافت پورفیری با فنوکریستهای پلازیوکلاز،



شکل ۱۲ تصویر بلورهای زیرکن (الف) و کانی‌های تیتانیت (ب) انتخاب شده برای تعیین سن نمونه از نمونه Z-R-45. (پ) نمودار تعیین سن کانی‌های زیرکن و تیتانیت که سن 28.11 ± 0.69 میلیون سال را برای نفوذ و تشکیل این دایک نشان می‌دهد.

سنگی به روش U-Pb مورد استفاده قرار گرفتند که به ترتیب سن‌های ۲۹/۹ و ۲۹/۸۴ میلیون سال را برای سنگ‌های توده و سن‌های ۲۸/۹۵ و ۲۸/۱۱ میلیون سال را برای دایک‌ها به دست آمدند. از سن‌های بدست آمده می‌توان نتیجه گرفت که دایک‌ها حدود یک الی دو میلیون سال از توده جوان‌تر بوده و پس از تشکیل توده در آن نفوذ کرده‌اند. همچنین در برخوردهای دایک‌های تزریق شده در توده، حاشیه‌ی انجماد سریع دیده نمی‌شود و این نیز بازتاب دهنده‌ی فاصله زمانی کم بین زمان تبلور توده و دایک‌های موجود در منطقه است. لذا بنظر می‌رسد که فعالیت‌های ماقمایی موجود در مجموعه نفوذی لخشک بین ۲۸/۱۱ تا ۲۹/۸۹ میلیون سال قبل رخ داده باشد.

مراجع

- [1] Millr C.F., Mittlefehldt D.W., "Depletion of light rare earth elements in felsic magmas". *Geology*, 10 (1982) 129-33.
- [2] Cherniak D.J., Watson E.B., "Diffusion in zircon". *Reviews in Mineralogy and Geochemistry*, 53 (2003) 113-143.
- [3] Corfu F., Grunsky E.C., "Igneous and tectonic evolution of the Batchawana greenstone belt, Superior Province a U-Pb zircon and titanite study". *Journal of Geology*, 95 (1987) 87-105.
- [4] Corfu F., Heaman L.M., Rogers G., "Polymetamorphic evolution of the Lewisian complex, NW Scotland, as recorded by U-Pb isotopic compositions of zircon titanite and

عرض ۳/۳ و بلور دوم تقریباً گرد شده، با نسبت ۱/۸ بود. سن‌های بدست آمده از این زیرکن‌ها به ترتیب 0.34 ± 0.34 و 27.85 ± 0.15 میلیون سال است. همچنین دو گروه از قطعات تیتانیت نیز برای تعیین سن این دایک استفاده شدند که سن‌های 13.6 ± 2.9 و 29.49 ± 0.74 را برای زمان بسته شدن سیستم تیتانیت‌ها پیشنهاد می‌کنند (شکل ۱۲ ب). سن بدست آمده از زیرکن منشوری با نسبت طول به عرض ۳/۳ و تیتانیت‌ها هم پوشانی خوبی نشان می‌دهند و در مجموع سن کنکور迪ای 28.11 ± 0.69 میلیون سال به عنوان سن بلور این دایک در نظر گرفته شد (شکل ۱۲ پ).

برداشت

مجموعه‌ی نفوذی لخشک در ۱۰ کیلومتری شمال غرب زاهدان قرار گرفته و بخشی از نوار ماقمایی زاهدان سراوان محسوب می‌شود. این توده در داخل رسوب‌های فیلیشی اوسن جایگزین شده است. از نظر ترکیب سنگ‌شناسی این مجموعه را می‌توان به دو بخش تقسیم کرد. ۱- توده‌ی اصلی که دارای ترکیب سنگ‌شناسی گرانودیوریت است. ۲- دایک‌های موجود در توده که حدود ۲۰-۳۰ درصد حجم توده را به خود اختصاص داده‌اند و دارای دامنه‌ی سنگ‌شناسی گسترده‌ای از دیوریت تا داسیت هستند.

در این مقاله دو نمونه از سنگ‌های توده‌ی گرانودیوریتی لخشک (شماره‌های Z-R-9 و Z-R-50) و دو نمونه از دایک‌های نفوذ کرده (شماره‌های Z-R-11 و Z-R-45) برای سال-

- [۱۷] قاسمی ح., صادقیان م., کرد م., خانعلیزاده ع., "سازوکار شکل‌گیری باتولیت گرانیتوئیدی جنوب زاهدان، جنوب شرق ایران"، مجله بلورشناسی و کانی شناسی ایران ۸۸ (۱۳۸۸) ۵۵۱-۵۷۸.
- [۱۸] کعناییان ع., رضایی کهخایی م., اسماعیلی د., "سنگ شناسی و جایگاه زمین ساختی توده گرانوویوریتی لخشک، شمال باختر زاهدان، ایران"، علوم زمین ۶۵ (۱۳۸۶) ۱۲۶-۱۴۳.
- [۱۹] Fotoohi Rad G.R., Droop G.T.R., Amini S., Moazzen M., "Eclogites and blueschists of the Sistan Suture Zone, eastern Iran, A comparison of *P-T* histories from a subduction mélange". *Lithos*, 84 (2005) 1-24.
- [۲۰] Streckeisen A., "To each plutonic rock its proper name" .*Earth Science Reviews*, 12 (1976) 1-33.
- [۲۱] Trimby P.W., Prior D.J., Wheeler J., "Grain boundary hierarchy development in a quartz mylonite". *Journal of Structural Geology*, 20 (1998) 917-935.
- [۲۲] کعناییان ع., رضایی کهخایی م., رضایی م., اسماعیلی د.. "شواهد پتروگرافی حاکی از دگرگشکلی دمای بالا در سنگ های حاشیه توده گرانیتوئیدی لخشک، شمال غرب زاهدان، ایران"، مجله علوم دانشگاه تهران ۳۳ (۱۳۸۶) ۳۹-۴۷.
- [۲۳] Kretz R., "Symbols for rock-forming minerals" *American Mineralogist* 68 (1983) 277-279.
- [۲۴] Dickin A.P., "Radiogenic Isotope Geology". Cambridge University Press, UK, (2005) 509 pp..
- [۲۵] Tilton G.R., Grunenfelder M.H., "Sphene: uranium– lead ages". *Science*, 159 (1968) 1458-1461.
- [۲۶] Tucker R.D., Raheim A., Krogh T.E., Corfu F., "Uranium-lead zircon and titanite ages from the northern portion of the Western Gneiss Region, south-central Norway". *Earth and Planetary Science Letters*, 81 (1987) 203-211.
- [۲۷] White W.M., "Isotope Geochemistry". Wiley-Blackwell, United States, (2015) 202pp.
- [۲۸] Vance D., Müller W., Villa I.M., "Geochronology: Linking the isotopic record with petrology and textures". *Geological Society of London*, (2003) 273 pp.
- [۲۹] Zariņš K., Johansson Å., "U-Pb geochronology of gneisses and granitoids from the Danish island of Bornholm: new evidence for 1.47–1.45 Ga magmatism at the southwestern margin of the East European Craton". *International Journal of Earth Science*, 98 (2009) 1561-1580.
- rutile". Contributions to Mineralogy and Petrology*, 117 (1994) 215-228.
- [۵] Resor P.G., Chamberlain K.R., Frost C.D., Snook A.W., Frost B.R., "Direct dating of deformation: U-Pb age of syn-deformational sphene growth in the Proterozoic Laramie Peak shear zone". *Geology*, 24 (1996) 623-626.
- [۶] Frost B.R., Chamberlain K.R., Schumacher J.C., "Sphene (titanite), phase relations and role as a geochronometer". *Chemical Geology*, 172 (2000) 131-148.
- [۷] Rubatto D., J. Hermann, "Exhumation as fast as subduction", *Geology* 29 (2001) 3-6.
- [۸] Bucci L.A., McNaughton N.J., Fletcher I.R., Groves D.I., Kositsin N., Stein H.J., Hagemann S., "Timing and duration of high-temperature gold mineralization and spatially associated granitoid magmatism at Chalice Yilgarn Craton, Western Australia". *Economic Geology*, 99 (2004) 1123-1144.
- [۹] Corfu F., Stone D., "The significance of titanite and apatite U-Pb ages: constraints for the post-magmatic thermal-hydrothermal evolution of a batholith, Berens River area, northwestern Superior Province". *Geochimica et Cosmochimica Acta*, 62 (1998) 2979-2995.
- [۱۰] De Haller, "The Raúl-Condestable iron oxide copper-gold deposit, central coast of Peru" Ph.D. thesis, Geneva, Switzerland, University of Geneva . Terre et Environnement, 58 (2006) 123.
- [۱۱] Camp V.E., Griffis R.J., "Character, genesis and tectonic setting of igneous rocks in the Sistan suture zone, eastern Iran", *Lithos*, 3 (1982) 221-239.
- [۱۲] Tirrul R., Bell I.R., Griffis R.J., Camp V.E., "The Sistan Suture Zone of eastern Iran". *Geological Society of America Bulletin*, 94 (1983) 134-150.
- [۱۳] Aghanabati A., "Major sedimentary and structural units of Iran (map)", *Geosciences* 7, Geological Survey of Iran, Tehran (1998).
- [۱۴] Sadeghian M., Bouchez J. L., Nedelec A., Siqueira R., Valizadeh M. V., "The granite pluton of Zahedan (SE Iran): a petrological and magnetic fabric study of a syntectonic sill emplaced in a transtensional setting". *Journal of Asian Earth Sciences*, 25 (2005) 301-27.
- [۱۵] Rezaei-Kahkhaei M., Kananian A., Esmaeily D., Asiabanza A., "Geochemistry of the Zargoli Granite, Implications for development of the Sistan Suture Zone, southeastern Iran". *Island Arc*, 19 (2010) 259-276.
- [۱۶] Berberian M., "The Southern Caspian: A compressional depression floored by a trapped, modified oceanic crust". *Canadian Journal of Earth Sciences*, 20 (1983) 163-183.